

Aufgabe 1: L^AT_EX-Dokument

Teilnahme-ID: ?????

Bearbeiter/-in dieser Aufgabe:
Vor- und Nachname

20. März 2023

Inhaltsverzeichnis

1	Lösungsidee	1
2	Beliebige Lösung	1
2.1	Einleitung	1
2.2	Annäherung	1
2.3	Optimale Lösung	2
3	Umsetzung	5
4	Beispiele	5
5	Quellcode	5

1 Lösungsidee

2 Beliebige Lösung

2.1 Einleitung

Stattdessen stelle ich einen Algorithmus vor, der eine optimale Lösung in polynomieller Zeit annähert, sowie einen Lösungsansatz, der das Problem in exponentieller Zeit optimal löst.

2.2 Annäherung

Das Problem wird mit Hilfe des Simulated Annealing [Kirkpatrick et al., 1983] gelöst.

procedure SIMULATED ANNEALING(Startlösung S , Temperatur T_0 , Abkühlkoeffizient α , Iterationen n)

```
 $S_{Beste} \leftarrow S$ 
 $C_{Beste} \leftarrow C(S)$ 
 $T \leftarrow T_0$ 
for  $i \in 1, 2, \dots, n$  do
   $S_{Neu} \leftarrow$  Nachbarlösung von  $S$ 
   $C_{Neu} \leftarrow C(S_{Neu})$ 
  if  $C_{Neu} < C_{Beste}$  then
     $C_{Beste} \leftarrow C_{Neu}$ 
     $S_{Beste} \leftarrow S_{Neu}$ 
  end if
   $r \leftarrow$  Zufallszahl aus  $[0, 1]$ 
  if  $r < \exp(\frac{C(S) - C_{Neu}}{T})$  then
```

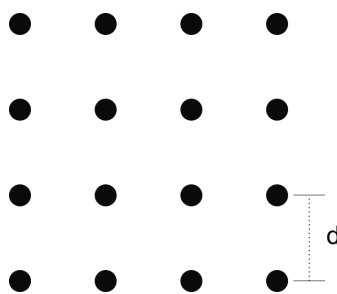


Abbildung 1: Die 16-Struktur.

```

     $S \leftarrow S_{Neu}$ 
  end if
   $T \leftarrow \alpha T$ 
end for
return  $S_{Beste}$ 
end procedure

```

Die grundlegende Idee des Algorithmus ist, das Problem als ein sich abkühlendes thermodynamisches System zu modellieren, wobei die Kosten für eine Lösung der Energie des Systems entspricht. Die Wahrscheinlichkeit, in einen anderen Zustand überzugehen, ist dann abhängig von der Energiedifferenz. Die auch von der Temperatur abhängige Wahrscheinlichkeit ist von der Boltzmann-Verteilung inspiriert. Das thermodynamische System befindet sich nach dem Abkühlen in einem energiearmen Zustand, genauso sollte der Algorithmus eine möglichst kostengünstige Lösung finden. Mit $T \rightarrow 0$ handelt es sich bei dieser Methode um einen einfachen Bergsteigeralgorithmus, der immer eine kostengünstigere benachbarte Lösung auswählt. Dieser kann leicht in lokalen Minima stecken bleiben, also bei Lösungen, die keine besseren Nachbarn haben, aber nicht das globale Minimum sind. Um das zu vermeiden kann Simulated Annealing durch die temperatur- und kostendifferenzabhängige Übergangswahrscheinlichkeit anfangs lokale Minima überwinden.

Gültige Lösungen sind hier alle möglichen Permutationen von N Landeplätzen. Die Beschränkung, dass eine Lösung keine Spitzen Winkel beinhalten darf, wird über die Kostenfunktion $C(S)$ kodiert. Die Kostenfunktion setzt sich zusammen aus der Länge des von S gebildeten Pfades und einer Gebühr $g \in \mathbb{R}$ für jeden spitzen Winkel. g ist eine obere Schranke der Länge eines Pfades, wodurch für jeden Pfad S' mit weniger spitzen Winkeln als S gilt $C(S) > C(S')$. Diese obere Schranke erschließt sich aus der Überlegung, dass eine mögliche Lösung mindestens $N - 1$ Kanten haben muss. Dieser Pfad kann höchstens die Kosten der teuersten $N - 1$ Kanten haben.

Um Nachbarn einer Lösung zu finden, habe ich die für das klassische TSP bekannten Mutationsoperatoren **Insert**, **Displace**, **Reverse-Displace** //TODO quote mutationsoperatoren und einen eigenen, auf dem 3-Opt-Verfahren basierenden Mutationsoperator, den ich **3-Opt** nenne, verwendet. Es wird zufällig einer der Operatoren angewendet. Die Operatoren basieren auf der Darstellung eines Pfades als Permutation von $(1, 2, \dots, N)$. In dieser Darstellung gibt das k -te Element der Permutation an, welcher Landeplatz als k -tes besucht wird.

Insert wählt einen zufälligen Landeplatz der Permutation aus und setzt ihn an eine zufällige neue Stelle.

Displace wählt ein zufälliges Segment der Permutation aus und setzt es an eine zufällige neue Stelle.

Reverse-Displace wählt ein zufälliges Segment der Permutation aus und setzt es in umgekehrter Reihenfolge an eine zufällige neue Stelle.

3-Opt teilt den Pfad an zufälligen Stellen in vier Segmente auf. Diese werden in einer zufälligen neuen Reihenfolge zusammengesetzt, wobei sie mit Wahrscheinlichkeit 0.5 umgekehrt werden. Der Operator ähnelt der 3-Opt-Heuristik, welche 3 Kanten einer Lösung löscht und die Segmente in einer Reihenfolge zusammensetzt, welche die Gesamtkosten minimiert, denn er ersetzt auch 3 Kanten durch neue.

2.3 Optimale Lösung

Es ist \mathcal{NP} -schwer, das weniger krumme Touren-Problem (WKT) optimal zu lösen. Um das zu zeigen, wird eine Reduktion vom eulerschen Pfad-Problem des Handlungsreisenden (E-PTSP) skizziert, welches \mathcal{NP} -

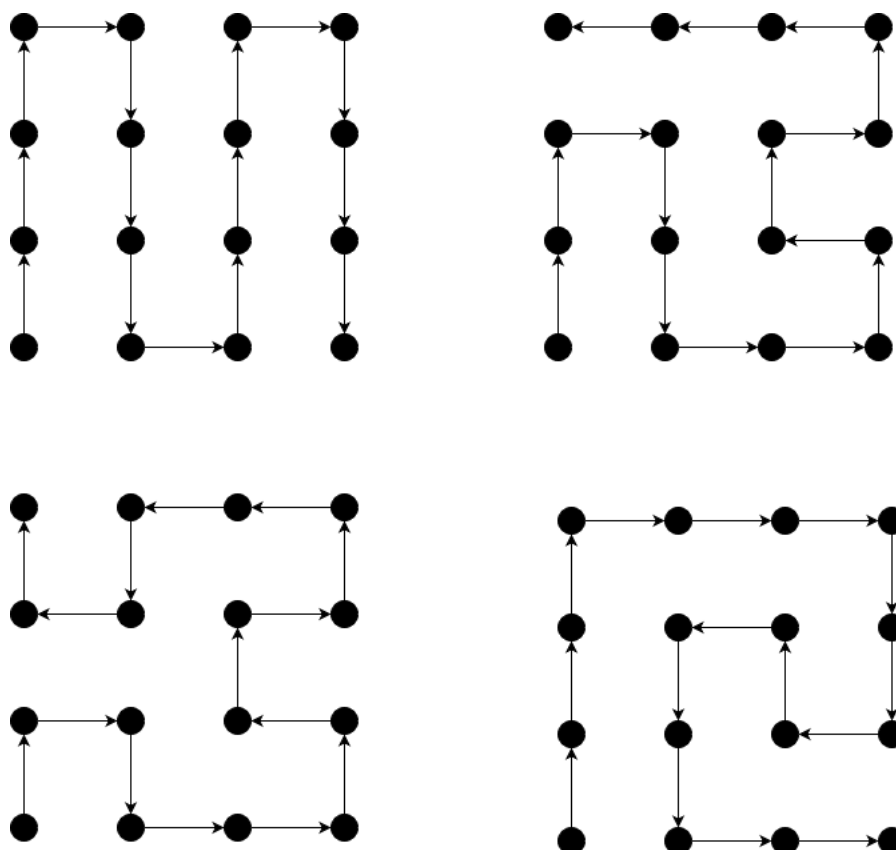


Abbildung 2: Ein von unten in die 16-Struktur kommendes Flugzeug kann in alle Richtungen weiter fliegen. Für andere Herkunftsrichtungen müssen die Pfade entsprechend gedreht werden.

schwer ist [Papadimitriou, 1977]. E-PTSP lautet folgendermaßen: Es sei $P \subset \mathbb{R}^2$ eine endliche Menge. Dann wird eine Reihenfolge von P gesucht, bei der die Strecke zwischen aufeinanderfolgenden Punkten minimal ist.

E-TPSP kann nun auf WKT reduziert werden, in dem jeder der Punkte P durch eine 16-Struktur an dessen Position ersetzt wird (Siehe Abbildung 1).

Diese Transformation heit im folgenden $T_d: \mathfrak{P}(\mathbb{R}) \rightarrow \mathfrak{P}(\mathbb{R})$ mit $d \in \mathbb{R}$, wobei \mathfrak{P} fr die Potenzmenge steht.

Lemma 1. *Es sei P eine Instanz von E-PTSP und $P' = T_d(P)$ mit d so dass sich die 16-Strukturen nicht überschneiden. Dann entspricht eine Permutation der 16-Strukturen von P' einer Lösung von P' .*

Beweis. Die erste 16-Struktur der Permutation kann in einer der Reihenfolgen in Abbildung 2 abgeflogen werden, so dass die beiden zuletzt angeflogenen Punkte in Richtung der nächsten 16-Struktur in der Permutation zeigen. Alle 16-Strukturen der Permutation bis auf die letzte liegen dann zwischen zwei anderen 16-Strukturen. Abbildung 2 zeigt, dass diese drei 16-Strukturen nacheinander angeflogen werden können, egal wie sie zueinander liegen. Die letzte 16-Struktur kann dann in einer beliebigen Reihenfolge angeflogen werden. \square

Lemma 2. *Es sei P eine Instanz von E -PTSP. $P' = T_d(P)$ kann in eine mögliche Lösung von P umgewandelt werden, wenn die Punkte jeder 16-Struktur jeweils unmittelbar nacheinander angefliegen werden.*

Beweis. Jeder Punkt in P' darf genau einmal besucht werden. Wenn die Punkte einer 16-Struktur unmittelbar nacheinander angeflogen werden, kann diese Struktur danach nicht mehr angeflogen werden. Dadurch wird in einer solchen Lösung jede 16-Struktur nur einmal angeflogen. Die Lösung stellt also eine Permutation der 16-Strukturen dar. Da jede 16-Struktur einen entsprechenden Punkt in P hat, kann die Permutation der 16-Strukturen so in eine Permutation von P umgewandelt werden. \square

Nun sei $\lim_{d \rightarrow 0}$. Die Abstände zwischen Punkten gleicher 16-Strukturen nähert sich dann 0 an, während die Abstände zwischen Punkten unterschiedlicher 16-Strukturen den Abständen der entsprechenden Punkte

in der E-PTSP-Instanz annähern. Die Länge eines Pfades, der die Punkte einer 16-Struktur unmittelbar nacheinander besucht, nähert sich dann der Länge des entsprechenden Pfades in der E-PTSP-Instanz an. Es muss jetzt noch gezeigt werden, dass eine optimale Lösung die Punkte einer Struktur unmittelbar nacheinander besucht und deshalb in eine Lösung des entsprechenden E-PTSP umgewandelt werden kann. Nach dem Beweis von Lemma 1 ist das äquivalent mit der Aussage, dass eine optimale Lösung jede 16-Struktur nur einmal besucht.

Lemma 3. *Es sei P eine Instanz von E-PTSP und $P' = T_d(P)$.*

1. *Wenn eine mögliche Lösung L 16-Strukturen mehrmals besucht, gibt es eine bessere oder gleichgute Lösung L' , die sie nur einmal besucht.*
2. *L' kann in polynomieller Zeit gefunden werden.*

Beweis. 1. Wir betrachten die Reihenfolge, in der L die 16-Strukturen besucht. L besucht $n \geq 2$ 16-Strukturen, bevor es eine 16-Struktur besucht, die es schon besucht hat. Wenn $n = |P|$ besucht L keine 16-Strukturen mehrmals. Andernfalls besucht L danach eine 16-Struktur, die es schon besucht hat. Diese 16-Struktur können wir überspringen, wodurch wir eine neue Verkettung von 16-Strukturen erhalten, in der n um 1 größer ist. Nach der Dreiecksungleichung ist diese Verkettung kürzer als die davor. Wir erhalten so lange neue Verkettungen, bis $n = |P|$ und keine Struktur mehrmals besucht wird. Es handelt sich dann um eine Permutation der 16-Strukturen.

2. L' wird gefunden, indem die Verkettung von 16-Strukturen L durchgegangen wird und jede 16-Struktur, die schon einmal darin vorkam gelöscht wird. Es wird also jede der $n = |L|$ in L vorkommenden 16-Strukturen mit allen Vorangegangenen verglichen. Da es maximal n vorangegangene 16-Strukturen gibt, haben wir $\mathcal{O}(n^2)$ Vergleiche, es ist unter der Annahme von konstanter Vergleichszeit $t \in \mathcal{O}(n^2)$. \square

Eine optimale Lösung kann deshalb immer in eine Lösung für E-PTSP umgewandelt werden. Diese hat mit $\lim_{d \rightarrow 0}$ die gleichen Kosten wie die entsprechende Lösung für WKT. Zuletzt muss noch gezeigt werden, dass jede Lösung für E-PTSP auch eine entsprechende Lösung in WKT hat, wodurch eine optimale Lösung in WKT auch in E-PTSP optimal ist.

Lemma 4. *Es sei P eine Instanz von E-PTSP und $P' = T_d(P)$. Jede Lösung von P ist auch eine Lösung von P' .*

Beweis. Eine Lösung für P ist eine Permutation der Punkte von P . Da jeder Punkt von P eine entsprechende 16-Struktur in P' hat, kann über diese Zuordnung die Permutation von P in eine Permutation der 16-Strukturen in P' umgewandelt werden. \square

Demnach ist

$$\text{WKT} \geq_{\mathcal{P}} \text{E-PTSP}$$

Unter der Annahme $\mathcal{P} \neq \mathcal{NP}$ gibt es deshalb keinen Algorithmus, der WKT in polynomieller Zeit optimal löst. Zur optimalen Lösung von WKT wird dieses als Integer-Programming-Problem formuliert. Integer Programming bezeichnet einen linearen Term mit ganzzahligen Variablen, den es unter Einhaltung linearer Ungleichung zu maximieren gilt. Integer Programming ist \mathcal{NP} -schwer, weshalb dafür nur Algorithmen exponentieller Laufzeit bekannt sind.

Es sei also I eine Instanz von WKT mit den Punkten $P \subset \mathbb{R}^2$. Die Landeplätze sind $L = \{1, 2, \dots, |P|\}$. Die Variable $x_{i,j} \in \{0, 1\}$ mit $i, j \in L; i < j$ kodiert, ob die Route die Punkte P_i und P_j direkt nacheinander anfliegt, wobei nicht festgelegt ist, welcher zuerst angefliegen wird. Man sagt auch: Die Lösung enthält eine Kante zwischen P_i und P_j . Die Variable $y_i \in \{0, 1\}$ mit $i \in L$ kodiert, ob der Pfad bei P_i anfängt

oder endet. Das Integer-Programming-Problem lautet dann:

$$\text{minimiere } \sum_{i=1}^{|P|} \sum_{j=1, j>i}^{|P|} c_{i,j} x_{i,j} \text{ mit} \quad (1)$$

$$\sum_{j=i+1}^{|P|} x_{i,j} + \sum_{k=1}^{i-1} x_{k,i} + y_i = 2 \quad \text{Für alle } i \in \{1, 2, \dots, |P|\} \quad (2)$$

$$\sum_{i=1}^{|P|} y_i = 2 \quad (3)$$

$$x_{\min(i,j), \max(i,j)} + x_{\min(j,k), \max(j,k)} \leq 1 \quad \text{Für alle } i, j, k \in L; i \neq j; j \neq k; i \neq k; P_i, P_j, P_k \text{ bilden spitzen Winkel} \quad (4)$$

$$\sum_{i \in Q} \sum_{j \in Q; j \neq i} x_{\min(i,j), \max(i,j)} \leq |Q| - 1 \quad \text{Für alle } Q \subset L; |Q| \geq 2 \quad (5)$$

$$(6)$$

Der zu minimierende Term (1) bedeutet, dass die Gesamtlänge des Pfades möglichst kurz sein soll. (2) sorgt dafür, dass auf jeder Landeplatz zwei Landeplätze hat, die direkt vor und nach ihm im Pfad angefliegen werden, oder genau einen, wenn der Landeplatz an einem Ende des Pfades liegt. (3) sorgt dafür, dass es nur 2 solcher Endlandeplätze gibt. (4) verhindert, dass es im Pfad spitze Winkel gibt. Wenn zwei Kanten einen Spitzen Winkel bilden, dann darf maximal eine dieser Kanten in der Lösung sein. (5) sorgt dafür, dass die Lösung nur ein Pfad ist, und nicht ein Pfad und Kreise durch die restlichen Knoten. Es handelt sich um die in [Dantzig et al., 1954] entwickelte Subtour-Elimination-Bedingung.

Weil (5) exponentiell viele Ungleichungen beinhaltet, muss es als Lazy Constraint formuliert werden, die Ungleichungen werden also im Laufe des Lösungsprozesses hinzugefügt. Wenn es eine potentielle Lösung gibt, wird ein Algorithmus auf diese Lösung angewendet, der Kreise in ihr sucht, und aus den Kreisen die entsprechenden Bedingungen formuliert. Auf diese Weise kann diese Bedingung auch Schnittebenen aus Relaxationen formulieren, wobei in der Relaxationslösung Kreise gesucht werden.

Dieses Integer-Programming-Problem kann mit dem Branch-and-Cut-Algorithmus [Padberg and Rinaldi, 1991] gelöst werden. Als Startlösung verwende ich dabei das Ergebnis des Simulated Annealing. Mit dem Branch-and-Cut-Algorithmus können auch Annäherungslösungen gefunden werden. Dafür wird die Suche abgebrochen, wenn die Differenz zwischen oberer und unterer Schranke in einem definierten Toleranzbereich liegt. Eine so ermittelte Lösung ist nicht garantiert optimal, liegt aber garantiert innerhalb des Toleranzbereiches zur optimalen Lösung.

3 Umsetzung

Hier wird kurz erläutert, wie die Lösungsidee im Programm tatsächlich umgesetzt wurde. Hier können auch Implementierungsdetails erwähnt werden.

4 Beispiele

Genügend Beispiele einbinden! Die Beispiele von der BwInf-Webseite sollten hier diskutiert werden, aber auch eigene Beispiele sind sehr gut – besonders wenn sie Spezialfälle abdecken. Aber bitte nicht 30 Seiten Programmausgabe hier einfügen!

5 Quellcode

Literatur

[Dantzig et al., 1954] Dantzig, G., Fulkerson, R., and Johnson, S. (1954). Solution of a large-scale traveling-salesman problem. *Journal of the Operations Research Society of America*, 2(4):393–410.

[Kirkpatrick et al., 1983] Kirkpatrick, S., Gelatt, C. D., and Vecchi, M. P. (1983). Optimization by simulated annealing. *Science*, 220(4598):671–680.

- [Padberg and Rinaldi, 1991] Padberg, M. and Rinaldi, G. (1991). A branch-and-cut algorithm for the resolution of large-scale symmetric traveling salesman problems. *SIAM review*, 33(1):60–100.
- [Papadimitriou, 1977] Papadimitriou, C. H. (1977). The euclidean travelling salesman problem is np-complete. *Theoretical Computer Science*, 4(3):237–244.